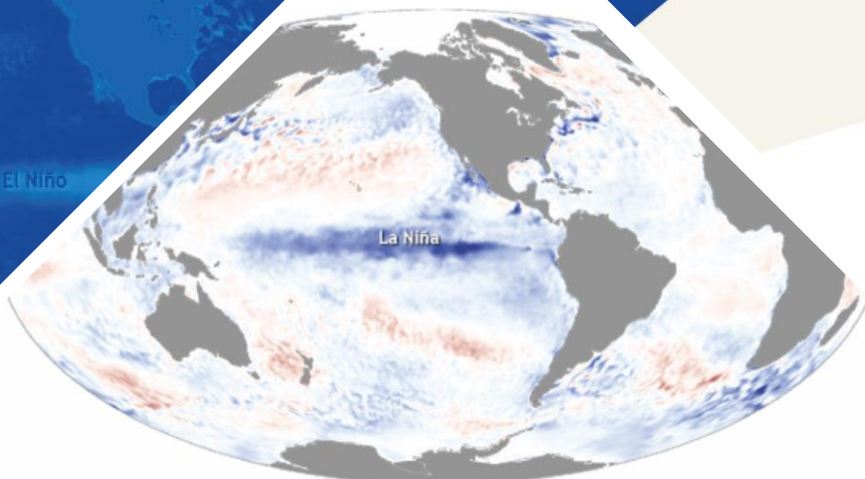


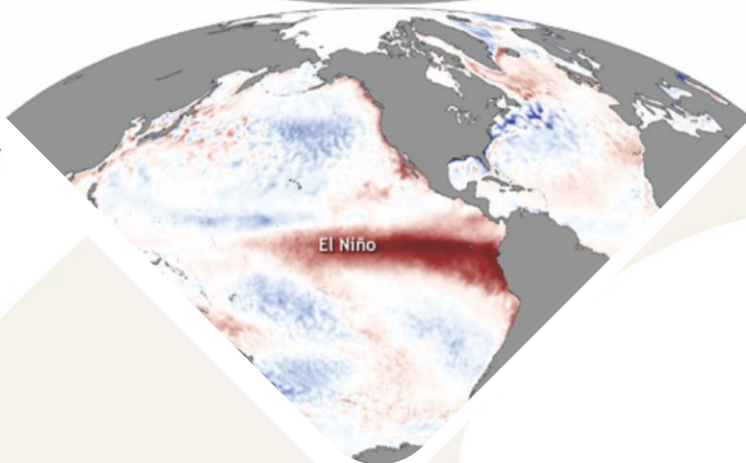
La Niña

BOLETÍN DE MONITOREO FENÓMENO «EL NIÑO / LA NIÑA»

El Niño



La Niña

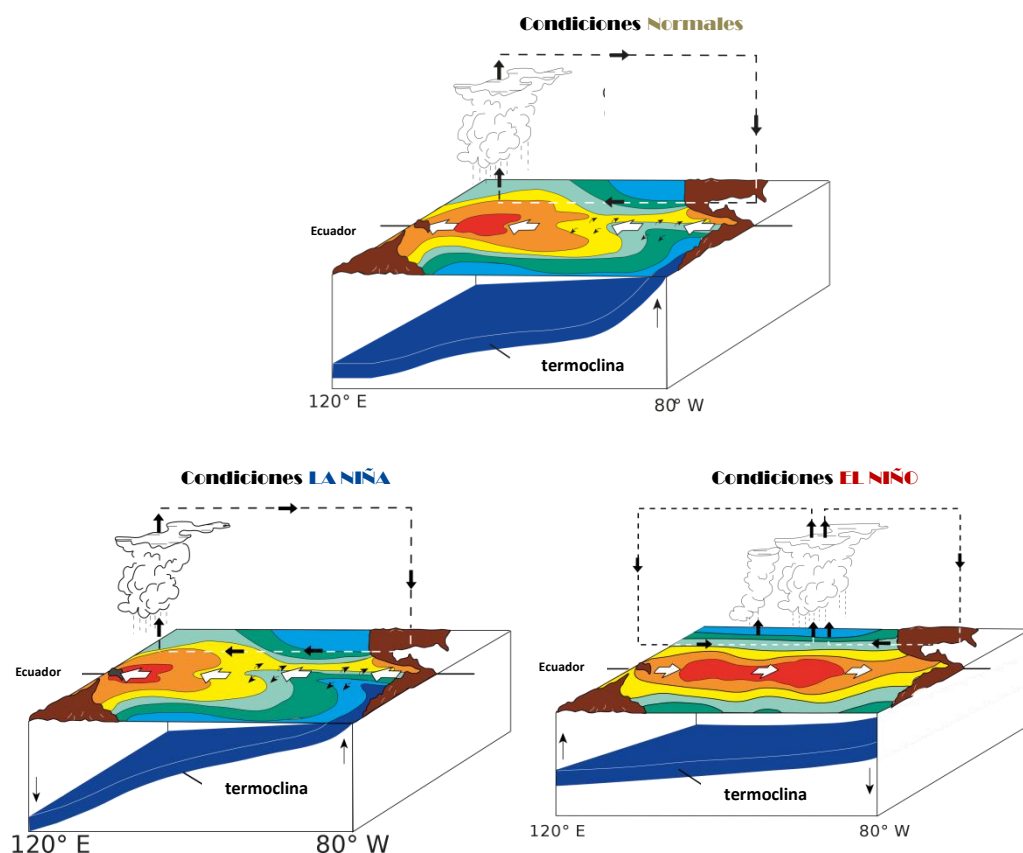


El Niño



Presentación

El SENAMHI brinda a tomadores de decisión, planificadores, agricultores, medios y a la población en general, una síntesis útil y oportuna sobre el **Monitoreo del Fenómeno El Niño/ La Niña** correspondiente mes de **SETIEMBRE del 2020**.



Condiciones Normales: Estacionalmente existe mayor aplastamiento (Convección) en la región oriental (occidental) del Pacífico ecuatorial, lo cual modula el clima tropical contribuyendo en la mayor estabilidad (inestabilidad) de la atmósfera .

Condiciones La Niña: La Circulación ecuatorial se intensifica al incrementarse la surgencia fría por los vientos alisios más intensos. Y, la refuerza la dinámica de la Circulación de Walker inclinándose más la termoclina.

Condiciones El Niño: La Circulación de Walker se debilita, y con ello se homogeniza el transporte zonal de las aguas oceánicas más cálidas de oeste a este por el debilitamiento de los vientos alisios y las Ondas Kelvin oceánicas. La termoclina logra allanarse favoreciendo al calentamiento sub-superficial.

SUSCRÍBITE AL BOLETÍN DE MONITOREO DEL FENÓMENO «EL NIÑO/LA NIÑA»

[Click Aquí](#)

RESUMEN

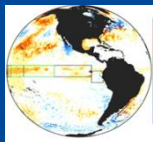
Todos los indicadores de acoplamiento océano – atmósfera sostienen niveles de la Niña en el Océano Pacífico. La Niña, de probable categoría moderada está en camino y todos los modelos climáticos encuestados indican que persistirá durante el verano austral 2020-21, con pico en diciembre.

Otras señales extra-tropicales modularon la intensidad del giro subtropical en el Hemisferio Sur. El Anticiclón del Pacífico Sur favoreció el incremento de los vientos alisios ecuatoriales, y episódicamente, los vientos costeros, principalmente durante la primera quincena del mes cuando las ondas Kelvin de afloramiento contribuyeron en la persistencia de las condiciones oceánicas frías.

I. Condiciones Océano-Atmosféricas



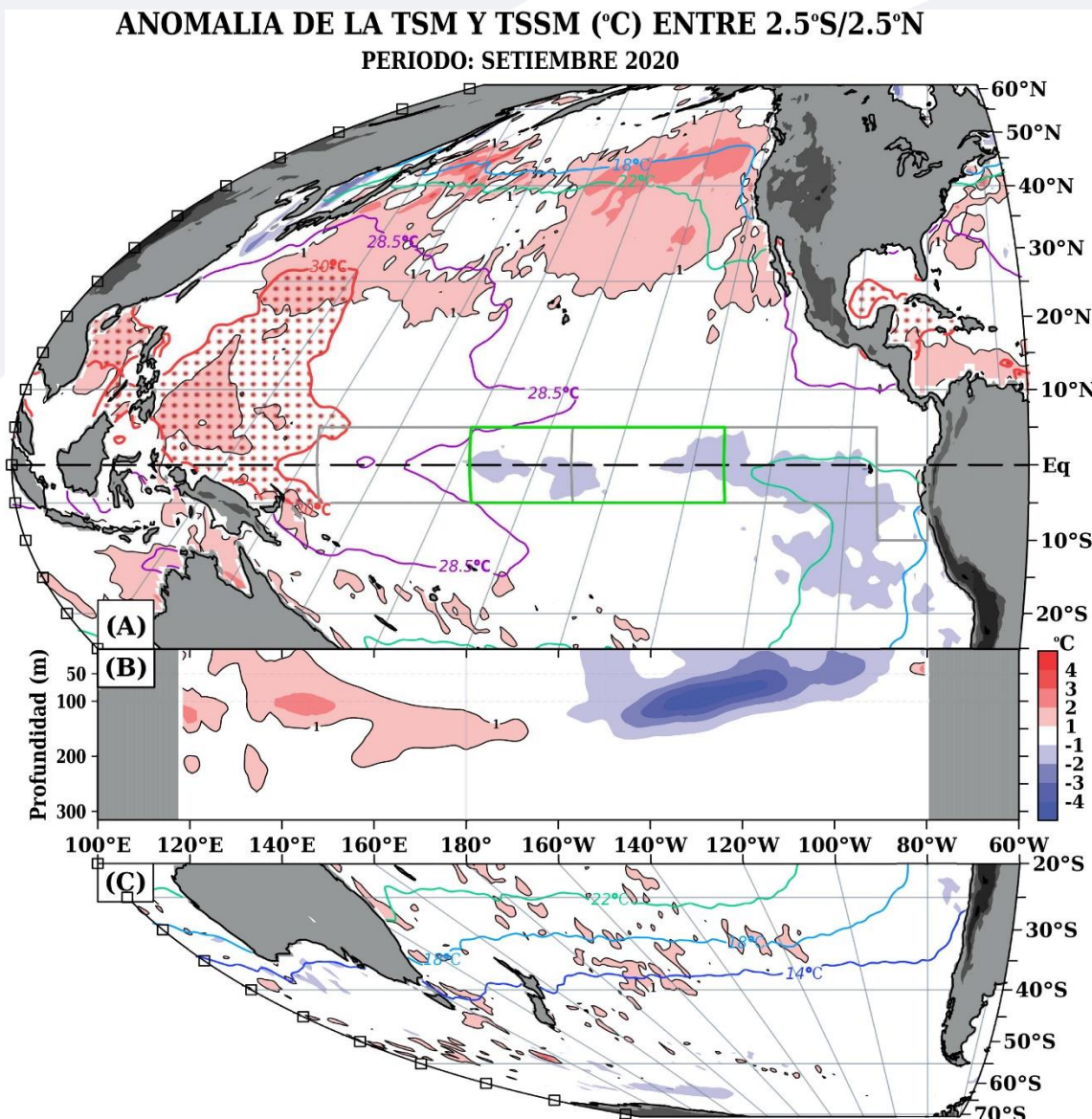
1.1 Pacífico Tropical



Temperatura Superficial del Mar (TSM)

Las TSMs continuaron debajo del promedio climático con condiciones alrededor del umbral La Niña (anomalías debajo de -0.5°C) a lo largo del Pacífico central y oriental, Fig. A. Asimismo, la profundidad de la termoclina se mantuvo por debajo del patrón climatológico con anomalías de las TSSMs de hasta -4°C para las regiones señaladas, Fig. B. En el Hemisferio norte, regiones subtropicales mantuvieron ATSM sobre lo normal.

FIGURA 1



Nota: Las coloraciones azules (rojas) indican condiciones frías (cálidas) de la temperatura superficial del mar (TSM) en el Pacífico y las temperaturas subsuperficiales del mar (TSSM) entre la sección ecuatorial 5°S/5°N.

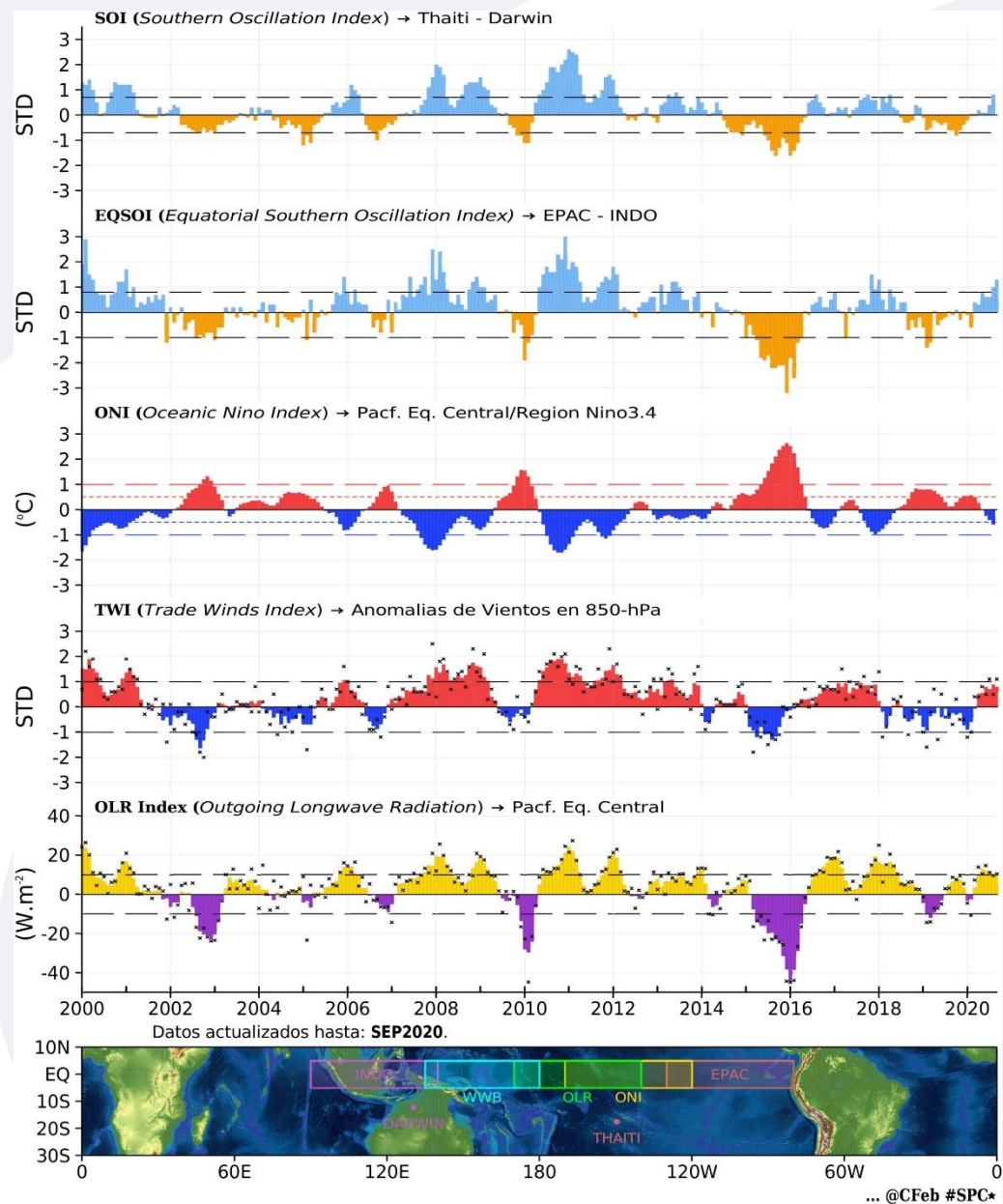
FUENTE: Datos TSM OISSTv2 re-grillados a 0.5°x y GODAS.

■ Índices ENSO



La mayoría de los indicadores ENOS se encuentran en niveles La Niña; tal es así que, el Índice Oceánico El Niño (ONI) en el trimestre Julio-Agosto-Setiembre (JAS) mostró $-0,59^{\circ}\text{C}$. Así también, el Índice de Oscilación del Pacífico Sur (IOS) y de la línea ecuatorial (EQIOS) superaron los límites La Niña con $+0,8$ y $+1,3$, respectivamente. La correspondencia inmediata al gradiente de temperatura y presión por la Niña se reflejó en el incremento de los vientos alisos con velocidades promedio de hasta $+5,8 \text{ m}\cdot\text{s}^{-1}$ y anomalías de $+2,6 \text{ ms}^{-1}$ en la región oeste del Pacífico. Esta condición fría de alta estabilidad continúa mostrando una reducción anómala de la precipitación, observándose anomalías positivas de convección de hasta $+10,43 \text{ w}\cdot\text{m}^{-2}$ sobre la región central-occidental del Pacífico ecuatorial.

FIGURA 2



Descripción:

Índices mensuales ENSO (El Niño Southern Oscillation) desde enero del 2000 hasta setiembre del 2020 con media móvil de 3 meses.

Los valores individuales mensuales de los índices WWB y OLR están indicados por "x" en los paneles inferiores.

STD: Valores estandarizados.

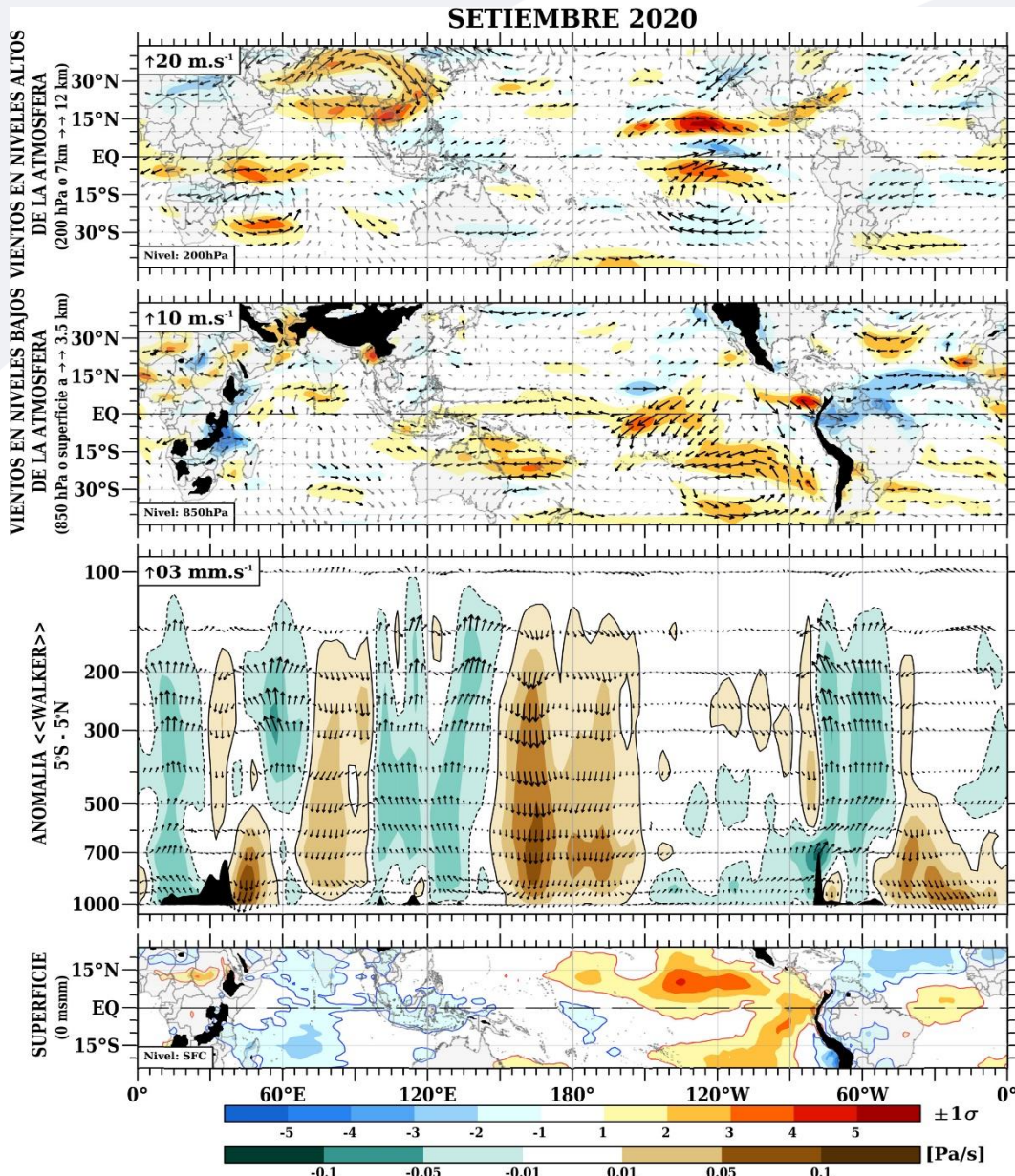
FUENTE: Datos Reanálisis NCAR/NCEP v2

■ Circulación Atmosférica



A lo largo del Pacífico ecuatorial, los vientos zonales de niveles bajos y altos de la atmósfera se mantuvieron alrededor del patrón climático normal. El giro subtropical del Pacífico sur se mantuvo intenso, contribuyendo en la intensificación de los alisios al sur de la línea ecuatorial. Mientras tanto, la convección tropical se vio suprimida en la región occidental-central del Pacífico y Atlántico ecuatorial, y se encontró dentro de lo normal sobre el Océano Índico. Asimismo, sobre la superficie oceánica, la presión reducida a nivel medio del mar muestra condiciones normales. No obstante, respecto a julio, se observó mayor estabilidad atmosférica hacia el lado oriental del Pacífico, no así sobre el Índico, donde prevalecen anomalías negativas. Colectivamente, estas anomalías atmosféricas, en correspondencia con las oceánicas, fueron consistentes con las condiciones La Niña.

FIGURA 3



Descripción:

Los matices de color rojo (azul) representan el (la) Incremento (disminución) significativo (a) de las anomalías de la velocidad del viento o del campo presiones respecto a sus valores históricos mensuales, expresado en valores de desviación estándar. Los matices de color verde (marrón) representan la intensidad anómala del ascenso (inhibición) de la convección tropical asociada a la Circulación Ecuatorial de Walker.

FUENTE: Datos Reanálisis NCAR/NCEP v2

■ Precipitación (convección tropical)

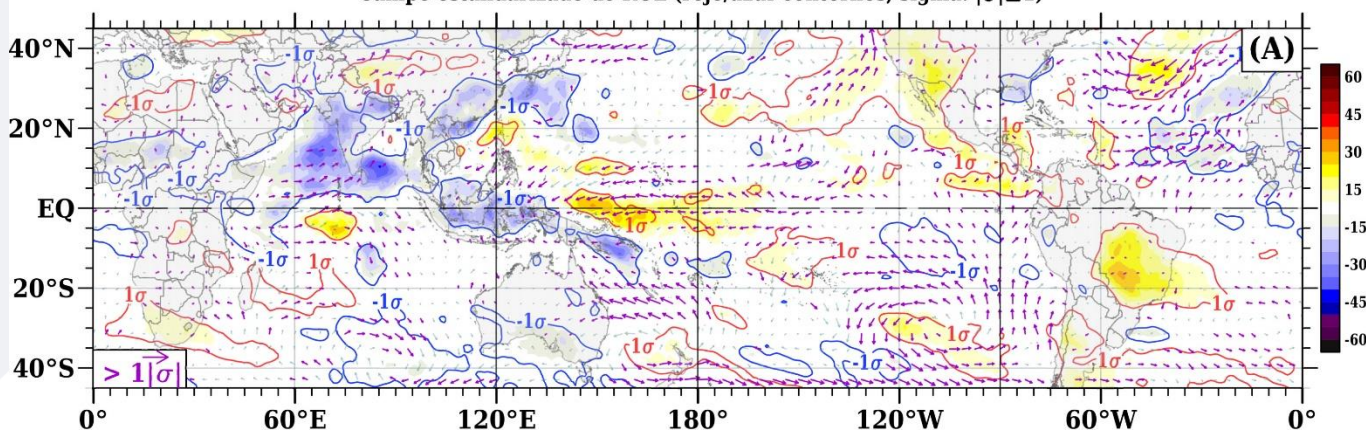


La convección sobre el Pacífico ecuatorial continuó suprimida significativamente desde la región oeste hacia la línea de cambio de fecha (180°) y región nororiental, Fig. A. En estas donde se evidenció una región de convergencia máxima en niveles altos sobre América, Fig. B. Contrariamente, en la región occidental del Pacífico, se observó una leve mejora de la convección sobre Indonesia asociado a una zona de divergencia máxima al oeste de Australia y el calentamiento persistido cuenca este del Océano Índico. Por otro lado, la Zona de Convergencia del Pacífico Sur (ZCPS) se mostró reducida en su alcance sobre el Pacífico sur subtropical.

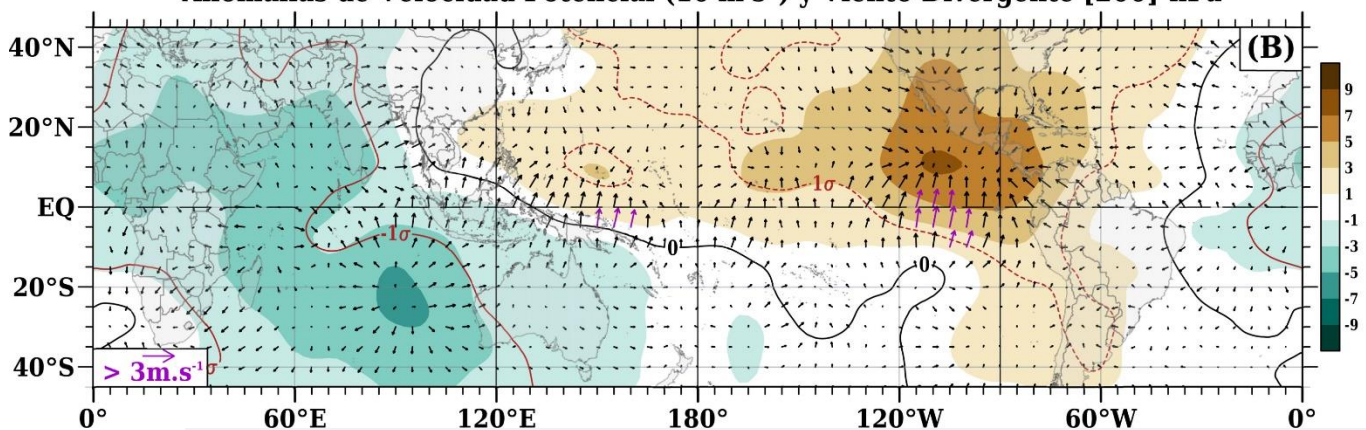
FIGURA 4

Anomalias de Vientos [10m]-sfc & ROL ($W.m^{-2}$)

Campo estandarizado de ROL (rojo/azul-contornos, $\sigma: |\sigma| \geq 1$)



Anomalias de Velocidad Potencial ($10^6 m^2 s^{-1}$) y Viento Divergente [200]-hPa



Descripción:

En A) Campo de anomalías de Radiación en Onda Larga (unidades: W/m^2) y vientos a 10 msnm. Matrices de color azul (rojo) representan zonas con menor (mayor) liberación de energía, las cuales representan zonas con mayor (menor) desarrollo de nubosidad convectiva. En B) Campo de anomalías de velocidad potencial y viento divergente en la tropósfera alta. Zonas con mayor (menor) velocidad potencial se asocian con mayor (menor) salida desde niveles inferiores, representados por la difluencia (confluencia) del viento divergente. Este último no es afectado por el giro rotacional del viento y permite visualizar la componente zonal del mismo en el Trópico en asociación con Walker.

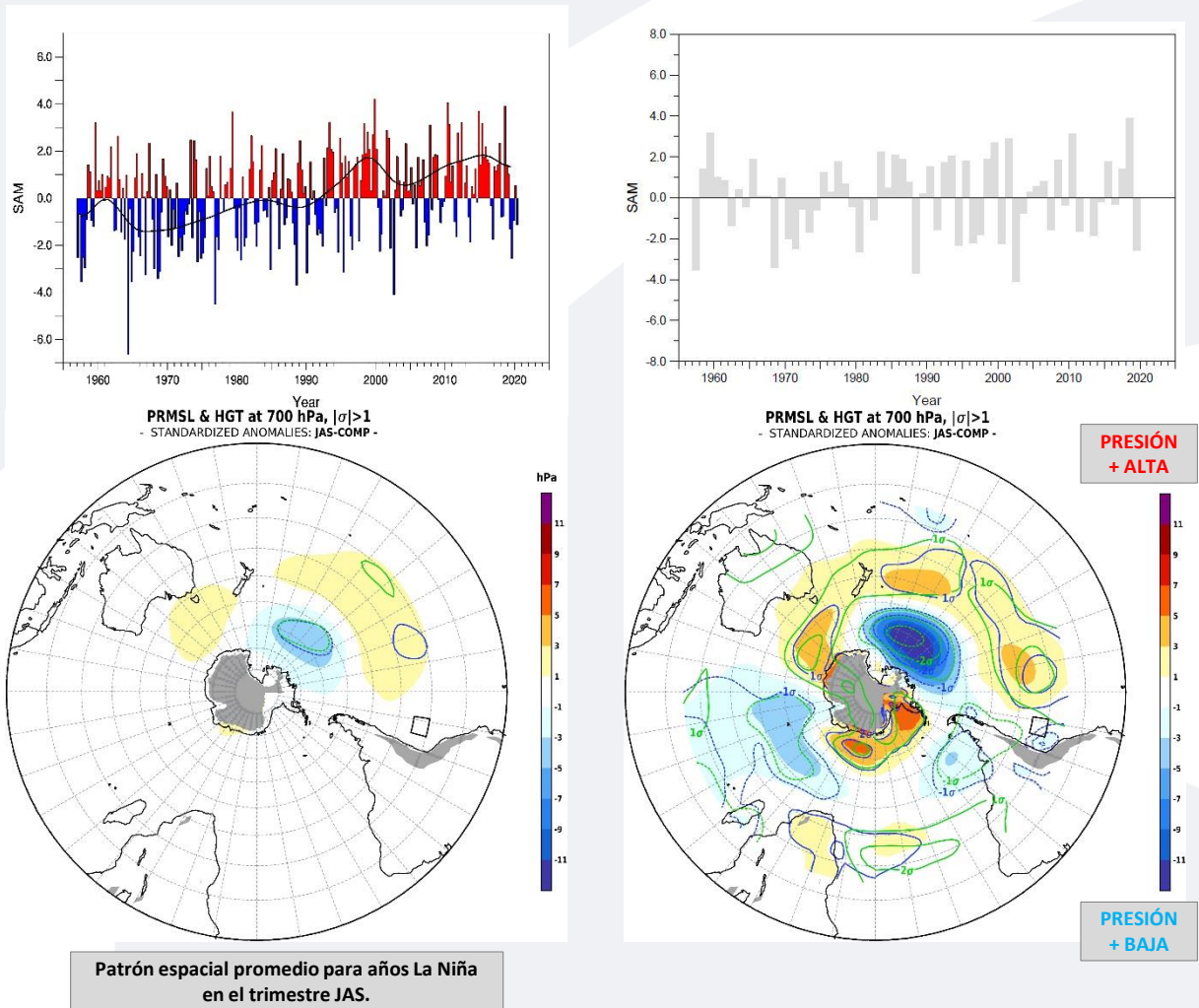
FUENTE: Datos Reanálisis NCAR/NCEP v2

■ Forzantes Remotas del Extratropical



El Índice Anular del Sur (SAM, por sus siglas en inglés) continuó ligeramente débil con valores negativos, lo cual indicó el fortalecimiento el cinturón subtropical con sistemas de altas presiones de bloqueo a la proyección de oestes anómalos desde latitudes altas para niveles bajos de la atmósfera. Cabe resaltar que durante el desarrollo de La Niña, esta favorece el cambio a una fase positiva del SAM, y con ello, el probable incremento del gradiente de presión hacia el ecuador y alisios del sureste hacia la costa oeste del continente. El campo promedio del campo de presiones a nivel medio de mar durante casos La Niña para el trimestre JAS muestra evidencias similares a la del presente año.

FIGURA 5



Descripción:

The Southern Annular Mode (SAM), hace referencia al cambio norte-sur de los vientos Oestes portadores de lluvia y sistemas de tiempo severo en el Pacífico Sur ($> 20^{\circ}\text{S}$) comparado con lo usual. La influencia de las fases del SAM sobre el Pacífico Suroriental involucra cambios en la estructura del sistema de alta presión subtropical. La fase negativa (positiva) responde a proyección norte (sur) anómala del cinturón de bajas presiones de latitudes medias.

Panel superior, SAM index mensual para el invierno Julio-Agosto-Setiembre (JAS) desde 1957 hasta 2020.

Panel inferior, se muestra el promedio de las presiones reducidas a nivel medio del mar (colores en hPa y contornos mora en unidades de desviación estándar) y la altura de geopotencial en la nivel de 700 hPa (contornos en verde) para el Hemisferio Sur.

FUENTE: Datos Reanálisis NCAR/NCEP v2

1.2 Pacífico Oriental

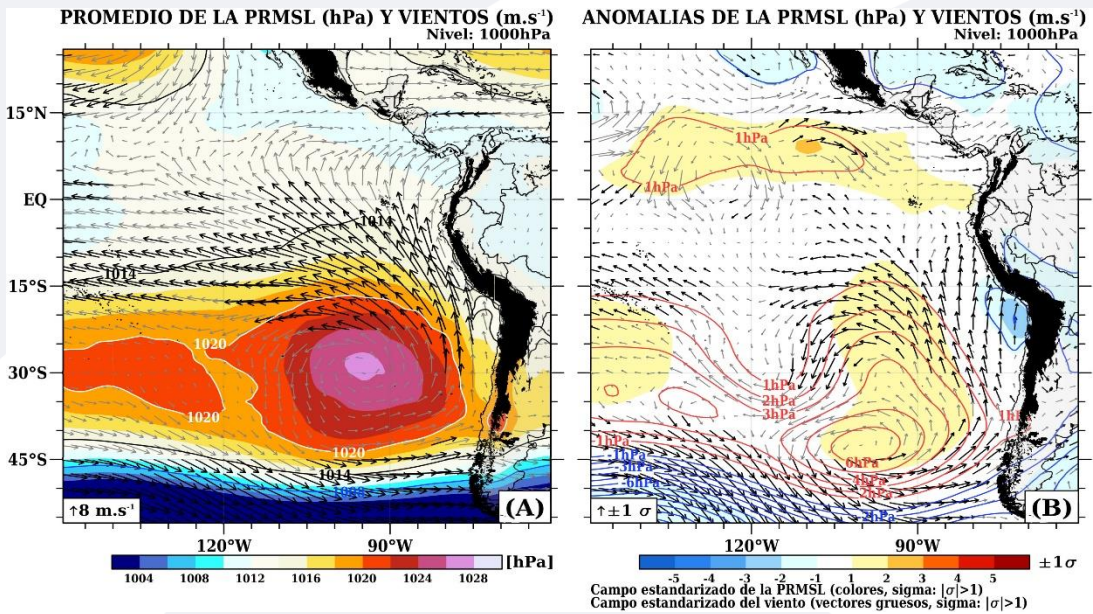
■ Condiciones costeras



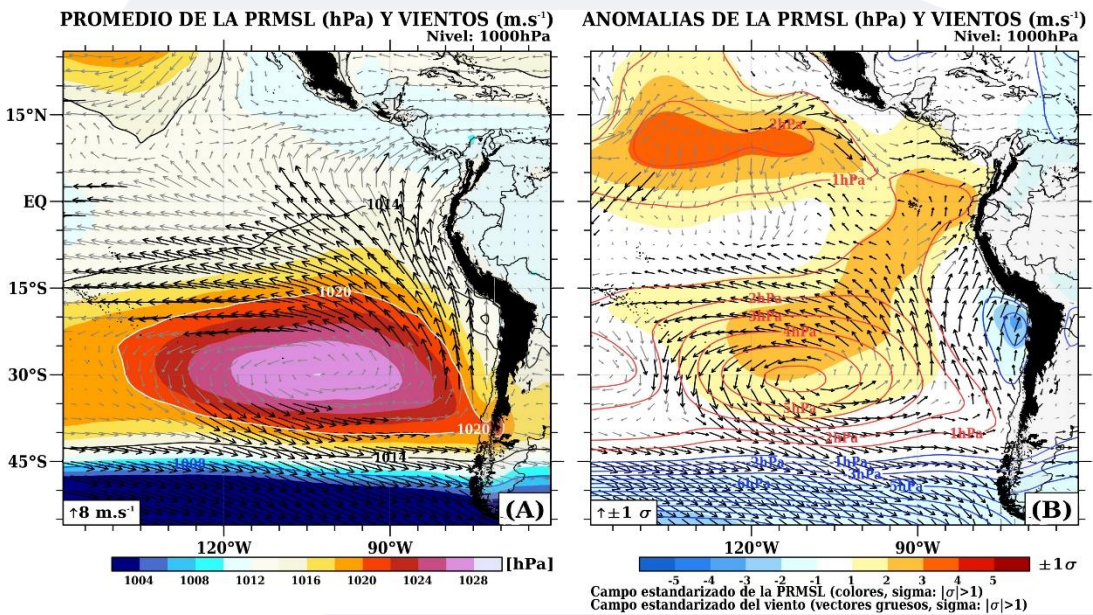
Durante Setiembre, en promedio, el Anticiclón del Pacífico Sur (APS) mostró un núcleo de hasta 1028 hPa con una configuración zonal y un centro de alta presión de hasta +6hPa. A diferencia del mes anterior, el APS presentó mayor intensidad y proyección hacia el ecuador. Y, aunque su aproximación hacia la costa de Perú (isóbara de 1014 hPa) continúa limitada, por centros ciclónicos anómalos de vientos superficiales débiles en la región sur, el giro subtropical se intensificó. Ello moduló el incremento de la componente meridional de los vientos alisios del sureste frente a la costa norte, resaltándose cambios significativos de la presión atmosférica.

FIGURA 6

- AGOSTO -



- SETIEMBRE -



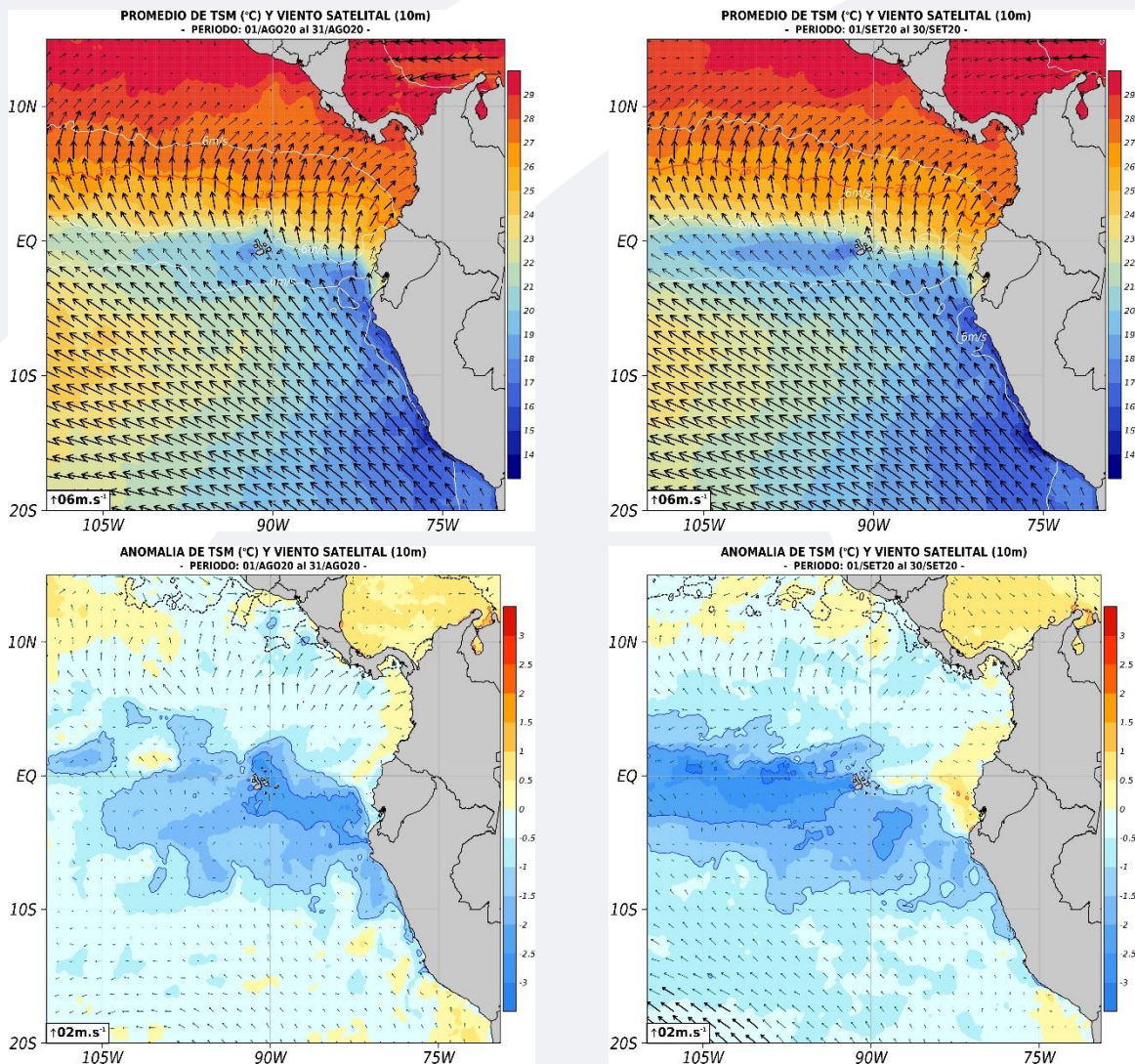
FUENTE (Panel Superior): Datos Reanálisis NCAR/NCEP v2

FUENTE (Panel Inferior): Satélite Polar "OSTIA"

■ Campo Regional de TSM y Vientos

Sobre la región oriental del Pacífico ecuatorial prevalece la expansión zonal de las condiciones frías oceánicas desde la costa peruana, identificándose la presencia de un núcleo cálido de anomalías de TSM frente a las costas de Ecuador y extremo norte de Perú. Los datos satelitales, en promedio, no muestran cambios significativos de los vientos costeros frente al litoral, salvo ligeros sures anómalos frente a la región Niño 1+2. De acuerdo al COMUNICADO ENFEN N°12-2020, cambió el estado de alerta a "Alerta de la Niña Costera". El ENFEN manifestó que el paquete de Ondas Kelvin frías observadas en agosto mantuvieron las anomalías negativas en la región oriental del Pacífico. Y, advirtió de la aproximación de otro paquete similar en 160°W.

FIGURA 7



FUENTE: Producto OSTIA – "The Optimal Sea Surface Temperature and Sea Ice Analysis", (A)TSM.

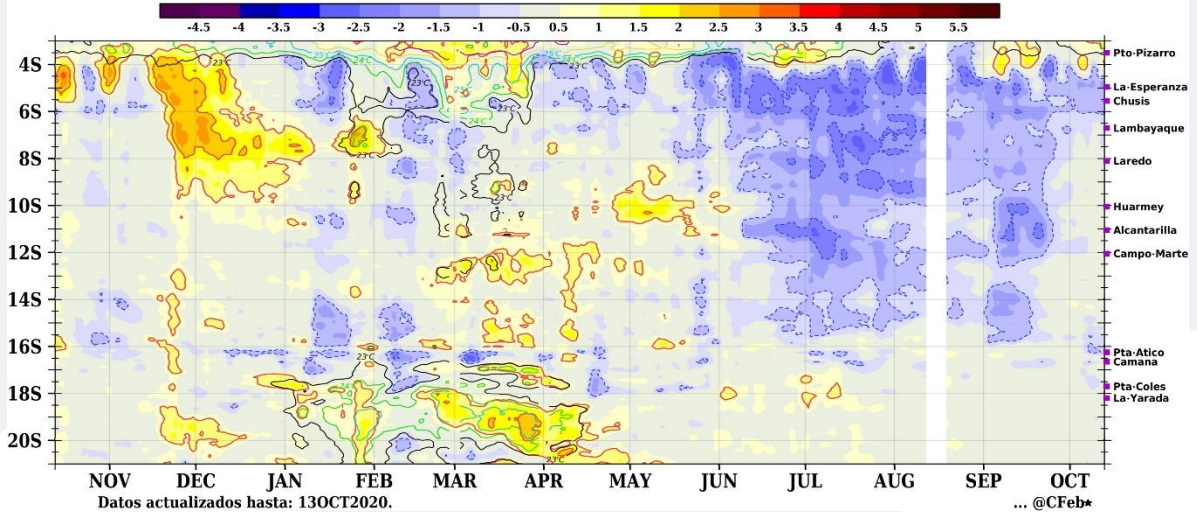
FUENTE: Satélite ASCAT – "The Advanced SCATterometer", Vientos.

■ TSM y Vientos Costeros (Paralelo a la Costa)

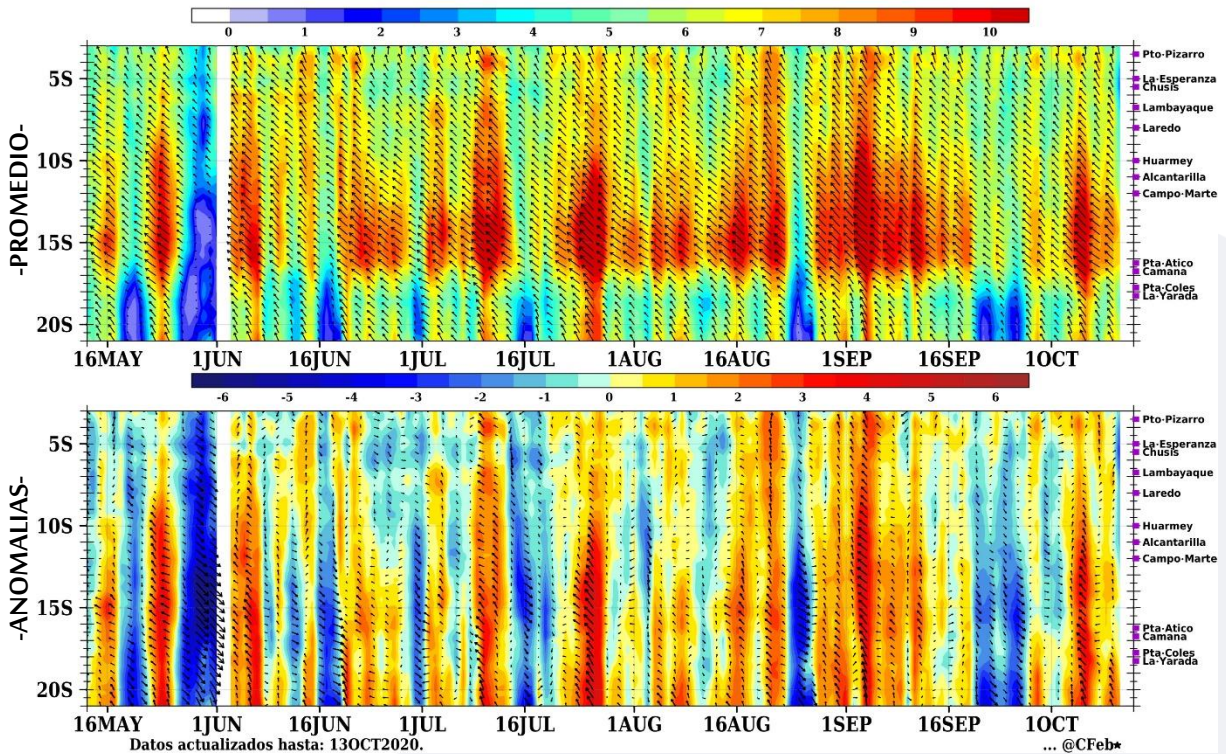
A lo largo de la franja costera, durante la primera quincena las condiciones oceánicas frías persistieron en respuesta al paso de la Onda Kelvin fría pronosticada en agosto. En este periodo, núcleos de hasta -2°C se localizaron en la región central, observándose anomalías de vientos del sur de hasta $+5\text{ m.s}^{-1}$, especialmente en la primera semana. Sin embargo, desde la segunda quincena del mes, se observó el debilitamiento generalizado de las condiciones frías anómalas, asociándose al debilitamiento de los vientos costeros. Asimismo, los datos in-situ mostraron un rápido incremento de las ATSM de hasta $+3^{\circ}\text{C}$ frente a las costas de Tumbes y Piura.

FIGURA 9

TSM ($^{\circ}\text{C}$) - Franja de 60 mn ($\sim 111.12\text{ Km}$) adyacente a la costa



Vientos Costeros (m.s^{-1}) - Franja de 60 mn ($\sim 111.12\text{ Km}$) adyacente a la costa



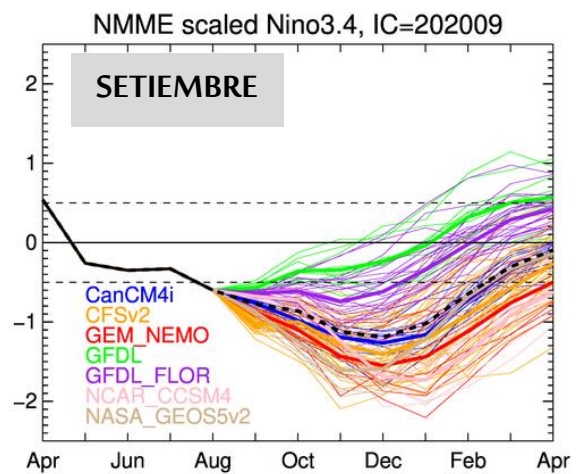
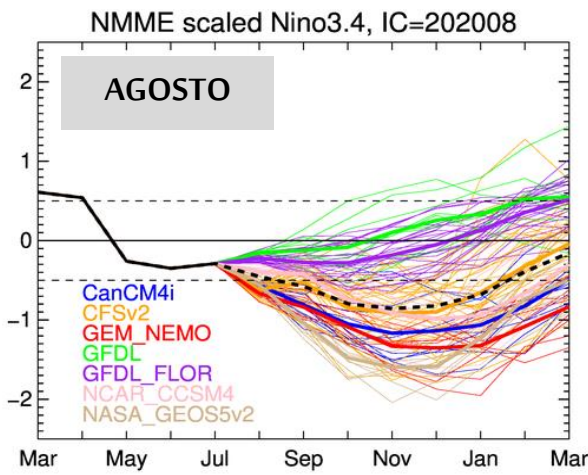
FUENTE: Producto OSTIA – “The Optimal Sea Surface Temperature and Sea Ice Analysis”, (A)TSM.

FUENTE: Satélite ASCAT – “The Advanced SCATerometer”, Vientos.

II. Perspectivas del fenómeno El Niño/ La Niña 2020

La mayoría de los modelos NMME predicen La Niña en la región central del Pacífico, condición fría que se fortaleció respecto a agosto con valores promedio debajo de -1°C . La Niña podría persistir hasta el verano austral 2020-2021 y debilitarse durante el otoño. El pronóstico consensuado por las diferentes carpetas internacionales señalan una condición La Niña moderada a fuerte, $\text{ONI} < -1^{\circ}\text{C}$, durante el pico de la estación Noviembre-Diciembre-Enero. Frente al ya acoplado sistema océano - atmósfera, La Niña en el verano típicamente incrementa la probabilidad presentarse precipitaciones sobre el promedio climático a lo largo de los Andes centrales del Perú. Ello, mayormente conducido por fluctuaciones anómalas de la ZCPS.

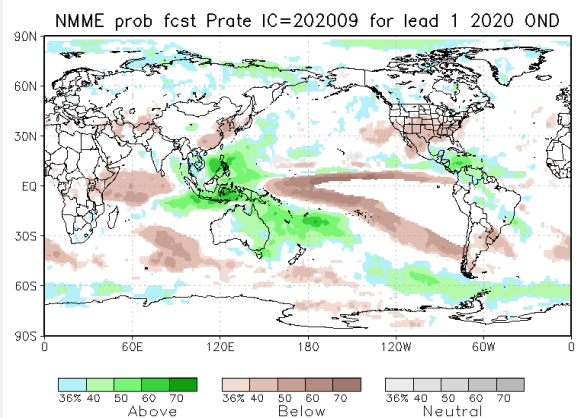
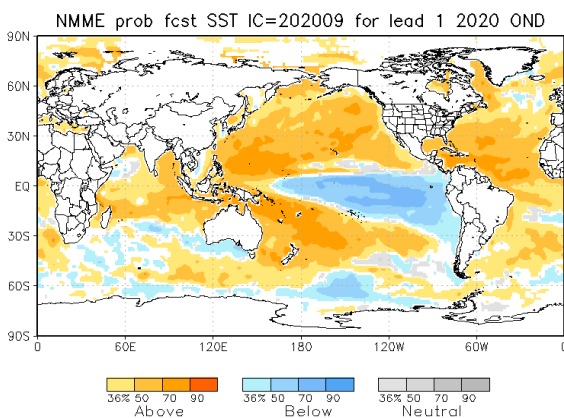
FIGURA 10



Descripción:

Comparativo IC “AGO 2020” vs “SET 2020” respecto del total de los miembros de ensambles pronóstico de El Niño/La Niña para la región Niño 3.4 hasta el invierno austral.

IC: Condiciones Inicializadas para 7 modelos internacionales comprendidos en NMME.



Descripción:

Panel izquierdo: Campo espacial de la probabilidades (calibradas) para el calentamiento (colores cálidos, ej. probabilidad de superar 0.5°C) o enfriamiento (colores fríos, ej. probabilidad por debajo de 0.5°C) anómalo del océano tropical para el siguiente trimestre SON (Setiembre – Octubre – Noviembre) 2020. Colores grises, indican el dominio de la componente estacional, y regiones en blanco, débil habilidad predictiva.

Panel derecha: Misma analogía que para las temperaturas superficiales del agua de mar, pero con la precipitación. zonas de color verde indican regiones con mayor probabilidad de superar el acumulado trimestral de la lluvia para SON viceversa.

FUENTE: NMME (The North American Multimodel Ensemble)

■ OTRAS REGIONES DEL PACÍFICO

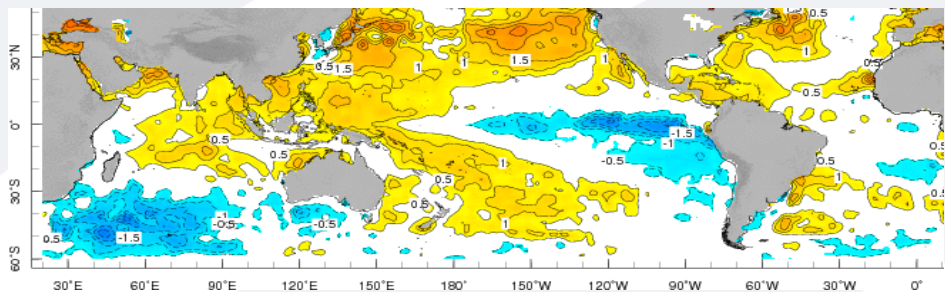
Finalmente, El ENFEN (COMUNICADO-N°13), en relación al periodo de verano (diciembre-marzo 2021) mantiene una mayor probabilidad de ocurrencia de condiciones La Niña de hasta 54% y normales con 61% para la región central y oriental del Pacífico, respectivamente. El pronóstico mensual NMME-NCEP CFSv2 releva el desarrollo gradual de condiciones La Niña hacia el inicio del verano 2021. Asimismo, se observan condiciones aparentemente normales en el Océano Índico.

FIGURA 11

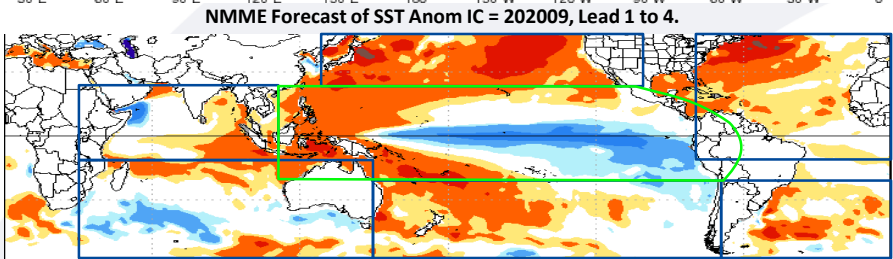
Anomalías de la TSM (°C)

Reynolds and Smith OISST Version 2 monthly sea surface temperature anomaly (in °C) with respect to 1971-2000 base period.

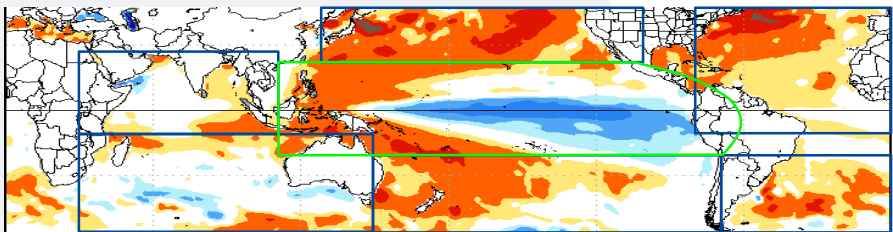
Observado
01 – 30 Set. 2020



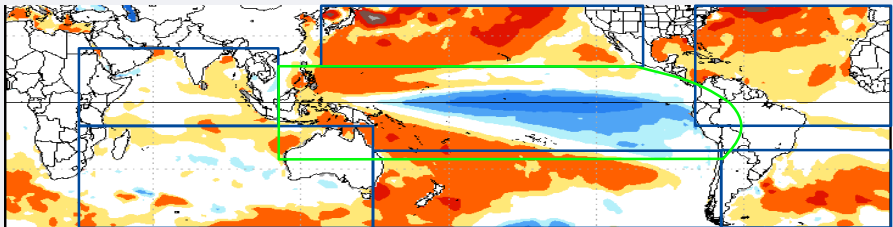
Pronóstico –
Modelos NMME
Octubre 2020



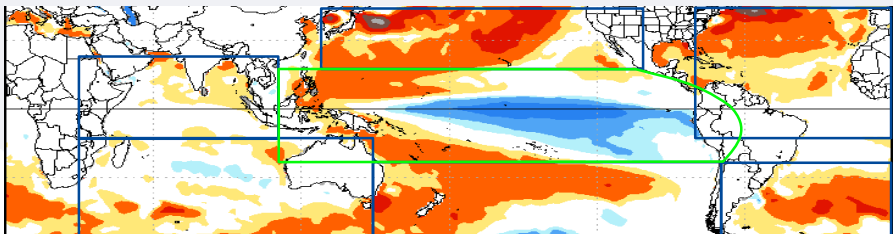
Noviembre



Diciembre



Enero 2021



FUENTE: IRI (International Research Institute for Climate and Society)

FUENTE: NMME (The North American Multimodel Ensemble)



GLOSARIO BÁSICO

El Niño-Oscilación del Sur (ENOS): Ciclo natural global del clima, de interacción océano-atmósfera, que ocurre en el Océano Pacífico. La intensidad de sus fases inducen cambios en los patrones normales de lluvia, en la temperatura y en los sistemas de presión de la región tropical del Océano Pacífico, que afecta el clima del mundo.

El Niño: Fase cálida de El Niño-Oscilación del Sur (ENOS).

La Niña: Fase fría El Niño-Oscilación del Sur (ENOS).

Zonas de estudio de El Niño: Área del Pacífico ecuatorial utilizada para monitorear el Fenómeno El Niño (niño4, niño3.4, niño3 y niño 1+2).

Índice Costero El Niño (ICEN): Índice que utiliza la Comisión Multisectorial Encargada del Estudio Nacional del Fenómeno El Niño (ENFEN), Para el monitoreo de El Niño costero. Se obtiene de la anomalía de la temperatura superficial del mar en la región Niño 1+2 (90°W-80°W, 10°S-0°).

Índice de Oscilación del Sur (IOS): Índice que se obtiene de la diferencia de presión atmosférica entre la isla de Tahití y Darwin (Australia). Los valores positivos de IOS corresponden a la fase cálida (El Niño).

Termoclina: Capa oceánica que separa las aguas cálidas subsuperficiales de las aguas frías a consecuencia de la rápida disminución de la temperatura a mayores profundidades.

Onda: Propagación de una perturbación originada en un lugar trasladándose hacia otro. Por ejemplo, cuando tiramos una piedra a una superficie de agua se genera el movimiento ondulatorio.

Onda Kelvin: Las ondas Kelvin se forman cerca de Indonesia (Pacífico occidental) y favorecen el transporte de aguas calientes de oeste a este en dirección a Sudamérica, debido al debilitamiento de los vientos alisios, profundizando la termoclina.

Niveles altos de la atmósfera: Altura desde aproximadamente 7 000 a 18 000 metros.

Niveles medios de la atmósfera: Altura desde aproximadamente 4 000 a 6 000 metros.

Niveles bajos de la atmósfera: Altura desde aproximadamente superficie a 3 500 metros.

Convergencia: Ingreso de masas de aire.

Divergencia: Salida de masas de aire.

Dirección de Meteorología y evaluación Ambiental Atmosférica
Ing. Gabriela Rosas Benancio
grosas@senamhi.gob.pe

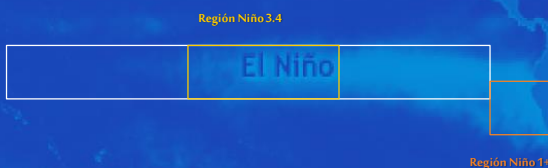
Subdirección de Predicción Climática:
Grinia Avalos
gavalos@senamhi.gob.pe

Análisis y redacción:
Cristian Febre Perez
cfebre@senamhi.gob.pe

La Niña

Si desea recibir este Boletín vía e-mail, le solicitamos completar el siguiente Formulario

[SOLICITE AQUI](#)



Próxima actualización: NOVIEMBRE 2020

Servicio Nacional de Meteorología e Hidrología del Perú-SENAMHI

Jr. Cahuide 785, Jesús María
Lima 11- Perú

Subdirección de Predicción Climática

Central telefónica: 614 1414, anexo 475